

билизация коэффициента усиления ФЭУ. Для измерения эффективности регистрации нейтронов кристаллом стибьбена использовалась реакция  ${}^2\text{H}(d, {}^3\text{He})n$ . Результаты этих измерений сравнивались с расчетами эффективности кристалла стибьбена по методу Монте-Карло [5]. Неопределенность в определении эффективности составляла  $<10\%$ .

Двумерные спектры совпадений из реакции  ${}^1\text{H}(d, pn)p$  накапливались в многоканальном амплитудном анализаторе IN-90, работающем в режиме неинтегрируемой памяти.

Для определения абсолютных значений сечения в эксперименте измерялось количество протонов отдачи из реакции  ${}^1\text{H}(d, d){}^1\text{H}$ , вылетающих под углом  $35^\circ$  к направлению пучка. Величина сечения упругого  $p-d$ -рассеяния была получена интерполяцией данных работы [6].

Двумерные спектры совпадений были измерены для углов  $(17,8^\circ; -36,0^\circ)$  и  $(14,0^\circ; -34,0^\circ)$ , соответствующих условию коллинеарности, и для  $(17,8^\circ; -32,0^\circ)$ , и  $(14,0^\circ$  и  $-38,0^\circ)$ , близких к этой кинематической области.

На рисунке изображены проекции спектров совпадений на кинематическую кривую. Эта кривая представляет собой эллипс в координатах импульсов совпадающих частиц. В качестве независимой переменной, меняющейся вдоль локуса, был выбран угол  $\alpha$ , описывающий уравнение эллипса в полярных координатах [7]. Стрелками отмечены области с минимальными значениями энергии нерегистрируемого протока в системе общего центра масс.

#### СПИСОК ЛИТЕРАТУРЫ

- [1] Lambert J. M., Treado P. A., Allas R. G., Beach L. A., Boudelid R. O., Ducner E. M. Phys. Rev. C., 1976, 13, p. 43. [2] Birchell J., Svenne J. P., de Jong M. S., McKee J. S. C., Ramsay W., Al-Chari M. S. A. L., Vilela N. Phys. Rev. C., 1979, 20, p. 575. [3] Fujiwara N., Hourany E., Nakamura-Yokota H., Reide F., Yuasa T. Phys. Rev. C., 1977, 15, p. 4. [4] Кузнецов Д. А., Кулаков В. Н., Курашов А. А., Макаров С. П., Цветков А. А. Исследование возможностей метода идентификации нейтронов в форме импульсов тока в широком диапазоне энергий. Препринт ИАЭ-2337. М., 1973. [5] Чулков Л. В. Программа расчета эффективности регистрации нейтронов кристаллом стибьбена. Препринт ИАЭ-2594. М., 1975. [6] Kocher D. C., Clegg T. B. Nucl. Phys., 1969, A132, p. 455. [7] Schrom P. H., Doornbos J., Krijisman W., Jonker C. C. Nucl. Phys., 1977, A291, p. 413.

Поступила в редакцию  
15.10.80

ВЕСТН. МОСК. УН-ТА. СЕР. 3. ФИЗИКА. АСТРОНОМИЯ, 1982, Т. 23, № 1

УДК 535.321

#### ТЕМПЕРАТУРНАЯ ЗАВИСИМОСТЬ ПОКАЗАТЕЛЕЙ ПРЕЛОМЛЕНИЯ МОЛИБДАТА ГАДОЛИНИЯ В ИК-ОБЛАСТИ СПЕКТРА

И. В. Митюшева, А. Н. Образцов, А. Н. Пенин

(кафедра квантовой радиопластики)

Кристаллы молибдата гадолиния привлекают в последнее время внимание большого числа исследователей ввиду своей перспективности для использования в различных нелинейно-оптических устройствах: кристаллы GMO устойчивы к воздействию лазерного излучения (в них не появляются наведенные оптические неоднородности, как в

гнобате лития), прозрачны в широкой спектральной области, неигроскопичны (что делает их удобными в работе). В частности, одним из возможных применений кристалла *GMO* может явиться использование его в качестве параметрического преобразователя квантового фотометра для измерения абсолютной яркости тепловых источников [1].

Оптические свойства кристаллов молибдата гадолиния исследовались различными методами, в том числе и методом спектроскопии спонтанного параметрического рассеяния света на поляритонах [2]. В данной работе методом СПР изучаются температурные зависимости

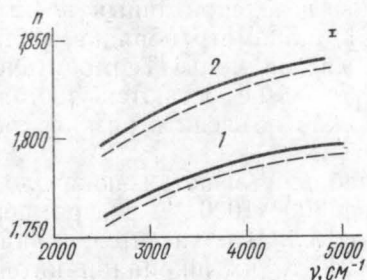


Рис. 1. Дисперсия показателей преломления (1 —  $n_o(\nu)$ , 2 —  $n_e(\nu)$ ) при  $T=20^\circ\text{C}$  (сплошная линия) и  $200^\circ\text{C}$  (пунктирная линия)

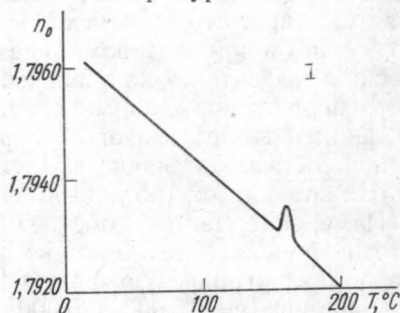


Рис. 2. Зависимость обыкновенного показателя преломления от температуры на частоте  $\nu=4700\text{ см}^{-1}$

показателей преломления в диапазоне температур  $20\text{--}200^\circ\text{C}$ , включающем в себя точку сегнетоэлектрического фазового перехода  $T_c=159^\circ\text{C}$ , и в частотном интервале  $3000\text{--}5000\text{ см}^{-1}$ .

В основном исследовалось рассеяние на обыкновенных поляритонах, наблюдаемое в случае, когда треугольник волновых векторов  $k_e=k_s+k_p$  ( $k_e$ ,  $k_s$ ,  $k_p$  — волновые векторы волны накачки, сигнала и поляритона) лежит в плоскости  $XU$ , волна накачки поляризована в этой же плоскости, а сигнальная — перпендикулярно ей. В случае, когда волновой вектор накачки имеет составляющую по оси  $Z$ , наблюдается рассеяние также и на необыкновенных поляритонах.

Образцы кристалла помещались в термостат, обеспечивающий плавное изменение температуры в пределах  $20\text{--}2000^\circ\text{C}$  и стабилизацию ее с точностью не хуже  $\pm 0,2^\circ$ . Спектры регистрировались по известной фотографической методике [3].

По полученным спектрам рассчитывались дисперсионные зависимости  $n_o(\nu)$ ,  $n_e(\nu)$  для различных температур (при температуре ниже точки фазового перехода кристалл принадлежит к точечной группе симметрии  $mm2$  и является двуосным, в этом случае под  $n_e$  понимается  $n_z$ , а под  $n_o-n_x \approx n_y$ , так как величина  $\Delta n_{xy}$  мала) и определена зависимость  $n_o$  от температуры.

На рис. 1 приведена дисперсия величин  $n_o$  и  $n_e$  при комнатной температуре (сплошные линии) и при температуре  $200^\circ\text{C}$  (пунктирные линии). На рис. 2 изображена зависимость показателя преломления  $n_o$  от температуры на частоте  $4700\text{ см}^{-1}$  в интервале температур  $20\text{--}200^\circ\text{C}$ , включающем в себя точку фазового перехода. Из хода кривой  $n_o(T)$  видно, что вдали от точки фазового перехода наблюдается монотонное убывание показателя преломления с ростом температуры. Величина  $\frac{dn}{dT}$  не изменяется с частотой (в диапазоне частот  $3000\text{--}$

5000 см<sup>-1</sup>) и составляет  $dn/dT = (2,4 \pm 0,2) \cdot 10^{-5}$  град<sup>-1</sup>. Вблизи точки фазового перехода наблюдается аномальное поведение показателя преломления: резкий рост  $n_o$  при приближении  $T$  к критической температуре как со стороны больших, так и со стороны малых температур. Поведение  $n_o(T)$  в области фазового перехода у молибдата гадолиния существенно отличается от хода  $n(T)$  у *KDP* [4], претерпевающего при переходе такое же изменение симметрии решетки ( $mm2 \rightarrow 42m$ ). Такое различие связано с тем, что молибдат гадолиния является несобственным сегнетоэлектриком и спонтанная поляризация не является параметром перехода. Основной вклад в изменение оптических свойств при фазовом переходе вносит не спонтанный электрооптический эффект, а (как показано в [5]) параметр порядка, роль которого играют нормальные координаты мягкой моды. Термооптические коэффициенты при фазовом переходе также не остаются постоянными, а испытывают скачки [5], чем и можно объяснить резкий рост  $n_o$  при охлаждении от 165 до 160°С.

Измерение частот собственных колебаний решетки показало, что частоты фононов, лежащих в диапазоне 300—1000 см<sup>-1</sup>, при переходе в параэлектрическую фазу не изменяются. Что касается линий люминесценции ( $\nu = 15\,000$ — $20\,000$  см<sup>-1</sup>) [2], то их ширина и интенсивность существенно увеличиваются с ростом температуры.

#### СПИСОК ЛИТЕРАТУРЫ

- [1] Власенко М. Ф., Китаева Г. Х., Пенин А. Н. Квантовая электроника, 1980, 7, № 2, с. 441. [2] Власенко М. Ф., Митюшева И. В., Пенин А. Н. Вестн. Моск. ун-та. Сер. Физ. Астрон., 1980, 21, № 1, с. 99. [3] Акципетров О. А., Георгиев Г. М., Михайловский А. Г., Пенин А. Н. ФТТ, 1976, 18, № 3, с. 665. [4] Влох О. Г., Луцив-Шумский Л. Ф. Изв. АН СССР, 1967, 31, № 7, с. 1139. [5] Анистратов А. Т., Мартынов В. Г., Мельникова С. В. ФТТ, 1975, 17, № 10, с. 2953.

Поступила в редакцию  
19.11.80

ВЕСТН. МОСК. УН-ТА. СЕР. 3. ФИЗИКА. АСТРОНОМИЯ, 1982, Т. 23, № 1

УДК 627.373.7

#### ОБЛАСТИ ВОЗБУЖДЕНИЯ СУБГАРМОНИЧЕСКИХ КОЛЕБАНИЙ В КОНТУРЕ С НЕЛИНЕЙНОСТЬЮ ГАРМОНИЧЕСКОГО ТИПА

В. Ф. Винарский, В. Ф. Марченко, С. А. Сафин

(кафедра радиофизики СВЧ)

1. Своеобразный вид вольт-фарадной характеристики (ВФХ) и отсутствие токов смещения МДП-варикапов позволяют, используя различные комбинации их включения, реализовать периодическую зависимость заряда от приложенного напряжения [1]. ВФХ составного емкостного элемента такого типа показана на рис. 1. Выбором индивидуального смещения на каждом варикапе удается получить ВФХ, близкую к гармонической. Величина общего смещения  $E_0$  определяет рабочую точку на синтезированной характеристике.

Зависимость емкости и заряда от переменного напряжения  $v$  в интересующей нас области можно аппроксимировать в следующем виде:

$$\begin{aligned} C(v) &= C_0(E_0) + C_{\text{нел}}(v) = C_0 - \Delta C \sin(pv + \theta_0), \\ Q(v) &= Q_{\text{лин}}(v) + Q_{\text{нел}}(v) = C_0 v + (\Delta C/p) \cos(pv + \theta_0). \end{aligned} \quad (1)$$